

8. Lane C. E. A quasi-vortex-lattice method in thin wing theory // J. Aircraft.— 1974.— V. 11, N 9.
 9. Риман И. С., Крепс Р. Л. Присоединенные массы тел различной формы // Тр. ЦАГИ.— 1947.— Вып. 635.

г. Омск

Поступила 23/V 1989 г.

УДК 532.526.2:532.526.4

В. И. Васильев, С. В. Хохлов, Е. Ю. Шальман

К РАСЧЕТУ ОТРЫВНЫХ ТЕЧЕНИЙ С ПОМОЩЬЮ УРАВНЕНИЙ ПОГРАНИЧНОГО СЛОЯ

В [1] продемонстрирована возможность расчета отрывных течений с помощью интегральных методов теории пограничного слоя. В [2] показано, что, решая обратную задачу для полной системы уравнений пограничного слоя и учитывая взаимодействие с внешним потоком, можно сравнительно просто рассчитать течения с тонкими отрывными зонами, не прибегая при этом к интегрированию уравнений Навье — Стокса. В настоящее время такой подход используется в основном для описания течений вокруг профилей [3, 4]. Цель данной работы — создание вычислительной методики, которая позволила бы в рамках теории взаимодействующего пограничного слоя рассчитывать несколько иной класс течений, часто встречающихся в приложениях. К ним относятся, в частности, течения в диффузорных каналах и в каналах с разделителем потоков. Рассматриваются как ламинарные, так и турбулентные течения. Предложен способ ускорения сходимости итерационного процесса.

1. Отметим, что, в принципе, имеется несколько возможностей описания сильного взаимодействия (являющегося главной особенностью отрывных течений), классифицируемых по тому признаку, какая задача (прямая или обратная) решается для внешнего потока и пограничного слоя. Первая возможность — чисто прямая задача. Здесь определяется скорость невязкого потока вдоль поверхности u_e , затем находится толщина вытеснения δ , контур поверхности подправляется на толщину вытеснения и вновь рассчитывается u_e . Процесс продолжается до установления и может быть представлен в виде схемы

$$(1.1) \quad u_e \rightarrow \delta \rightarrow u_e \rightarrow \delta \rightarrow \dots$$

Вторая возможность — чисто обратная задача. Вначале задается толщина вытеснения. Из обратной задачи для пограничного слоя определяется скорость на внешней границе U_e , которая должна совпадать со скоростью в невязком потоке. Для того чтобы удовлетворить последнему условию, решается обратная задача для внешнего течения и находится новое распределение δ , и т. д. Схематически данную процедуру можно записать так:

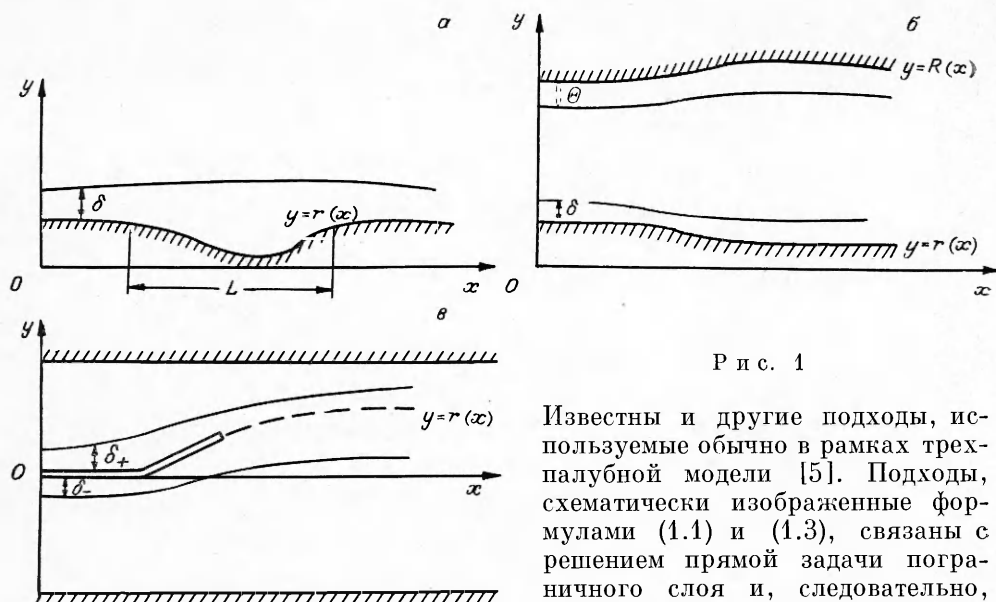
$$(1.2) \quad \delta \rightarrow U_e \rightarrow \delta \rightarrow U_e \rightarrow \dots$$

Третья возможность — обратно-прямая задача. По заданному распределению u_e находятся две толщины вытеснения: δ — из решения прямой задачи для пограничного слоя и Δ — из решения обратной задачи для внешнего течения. По разнице этих величин корректируется u_e и процесс повторяется:

$$(1.3) \quad \begin{array}{c} \delta \quad \delta \\ \nearrow \quad \searrow \quad \nearrow \quad \searrow \\ u_e \quad \Delta \quad u_e \quad \Delta \quad \dots \end{array}$$

Наконец, рассмотрим прямо-обратную задачу, когда по заданной толщине вытеснения находятся u_e (прямая задача) и U_e (обратная задача для пограничного слоя), а по их разнице корректируется δ :

$$(1.4) \quad \begin{array}{c} U_e \quad U_e \\ \nearrow \quad \searrow \quad \nearrow \quad \searrow \\ \delta \quad u_e \quad \delta \quad u_e \quad \dots \end{array}$$



Р и с. 1

Известны и другие подходы, используемые обычно в рамках трехпалубной модели [5]. Подходы, схематически изображенные формулами (1.1) и (1.3), связаны с решением прямой задачи пограничного слоя и, следовательно, с возникновением особенности Гольдштейна [5]. Поэтому для ре-

шения задач в рамках таких подходов приходится применять специальные процедуры, позволяющие избежать возникновения особенности при численном интегрировании уравнений пограничного слоя. Такие процедуры обычно не универсальны, а итерационный процесс часто не сходится. Применение подхода (1.2) связано с решением обратной задачи для невязкого потока, что в ряде случаев, например в каналах, весьма затруднительно, тогда как для решения прямой задачи в случае невязкого потока существует множество эффективных алгоритмов. В настоящее время наиболее универсальным подходом к описанию вязко-невязкого взаимодействия, по-видимому, является прямо-обратный подход (1.4). На его основе и строится вычислительная методика данной работы.

2. Схемы плоских течений несжимаемой жидкости, рассматриваемых нами, представлены на рис. 1 (а — обтекание свободной поверхности, контур которой описывается уравнением $y = r(x)$, б — течение в канале, в — обтекание разделителя, установленного в канале, двумя потоками с различными полными давлениями). Считается, что число Рейнольдса Re велико и характерный размер неоднородности обтекаемой поверхности порядка толщины пограничного слоя ($\Delta r = O(\delta)$), в силу чего отрывные зоны будут тонкими. Когда анализируется течение в канале, кроме того, предполагается, что имеется невязкое ядро, характерный поперечный размер которого порядка ширины канала $R - r$, и пограничные слои, причем $\delta \leq (R - r)$.

При выполнении таких условий пограничный слой удобно описывать в переменных

$$X = x, Y = y - r(x), U = u; V = v - u (dr/dx)$$

(x, y — декартовы координаты (см. рис. 1); u, v — составляющие вектора скорости в них). В новых переменных уравнения, однако, имеют обычный вид

$$(2.1) \quad U \partial U / \partial X + V \partial U / \partial Y = \beta + \partial((v + \varepsilon) \partial U / \partial Y) / \partial Y;$$

$$(2.2) \quad \partial V / \partial Y = -\partial U / \partial X.$$

Здесь также введены обозначения: $\beta = U_e dU_e/dX$, $U_e(X) = \lim_{Y \rightarrow \infty} U(X, Y)$,

ν — ламинарная вязкость, ε — турбулентная, которая может быть найдена с помощью полуэмпирической модели. Отметим, что в обратной задаче параметр β заранее неизвестен, для его определения необходимо за-

дать распределение толщины вытеснения

$$(2.3) \quad \int_0^{\infty} (1 - U, U_e) dY = \delta(X).$$

Граничные условия для системы (2.1), (2.2)

$$(2.4) \quad Y = 0 \quad U = V = 0, \quad Y \rightarrow \infty \quad \partial U / \partial Y \rightarrow 0,$$

а в начальном сечении должно быть задано распределение продольной скорости

$$(2.5) \quad U(0, Y) = U_e(0) f(Y).$$

В расчетах полагалось, что начальный участок поверхности прямой $r = \text{const}$, в ламинарном случае $f(Y)$ определялась из решения Блазиуса, а в турбулентном — аппроксимировался профиль скорости на пластине [6].

Задача (2.1)—(2.5) решалась численно. Соотношение (2.1) записывалось в конечно-разностную форму с помощью схемы Кранка — Никольсона и центральных разностей по переменной Y , которые на равномерной сетке обеспечивают второй порядок аппроксимации по этой координате. Поскольку уравнение (2.1) нелинейное, чтобы реализовать второй порядок аппроксимации по X , применялись локальные (в каждом сечении) итерации. При записи конвективных членов в области обратных токов ($U < 0$) использовалась аппроксимация [7] $U \partial U / \partial X = 0$, если $U < 0$. В некоторых расчетах при решении задачи взаимодействия в зоне возвратного течения $\partial U / \partial X$ аппроксимировалась разностями против потока, где недостающие значения U брались из предыдущего расчета. Результаты в обоих случаях практически одинаковы, однако первый способ [7] требует меньших вычислительных затрат. Для дискретизации (2.2) были взяты центральные разности, а при записи интеграла (2.3) — формула трапеций. Таким образом, численный метод в целом имеет второй порядок аппроксимации.

Так как в (2.1) наряду с полем U неизвестен и параметр β , конечно-разностные аналоги (2.1) и (2.3) в любом сечении необходимо решать совместно. Соответствующая система разностных соотношений имеет вид

$$(2.6) \quad a_j U_{j+1} - b_j U_j + c_j U_{j-1} = e_j \beta + d_j, \quad 2 \leq j \leq N - 1;$$

$$(2.7) \quad \sum_{j=1}^N w_j U_j = 0;$$

$$(2.8) \quad U_1 = 0, \quad U_N = U_{N-1},$$

где вид коэффициентов для краткости не приводится; N — число точек сетки по Y . Соотношения (2.8) — разностная аппроксимация граничных условий (2.4). Во избежание дополнительных итераций при решении системы (2.6)—(2.8) использовали модифицированный вариант метода прогонки

$$(2.9) \quad U_{j+1} = D_j U_j + G_j + E_j \beta.$$

Применяя второе краевое условие (2.8) и соотношения (2.6), с помощью рекуррентных соотношений определяем прогоночные коэффициенты. Последовательно подставляя (2.9) в (2.7), исключаем U_j и, учитывая, что $U_1 = 0$, находим β , затем обратной прогонкой с помощью (2.9) — поле U . Несложно показать, что для модифицированного варианта прогонки достаточные условия устойчивости (условия на a_j, b_j, c_j) те же, что и в обычном случае [8].

Наряду с описанным способом решения был апробирован и другой вариант, когда вместо задачи (2.1)—(2.4) рассматривается эквивалент-

ная ей

$$(2.10) \quad U\partial\omega/\partial X + V\partial\omega/\partial Y = \partial^2((\nu + \epsilon)\omega)/\partial Y^2;$$

$$(2.11) \quad \partial U/\partial Y = \omega;$$

$$(2.12) \quad \partial V/\partial Y = -\partial U/\partial X;$$

$$(2.13) \quad \int_0^\infty (Y - \delta)\omega dY = 0;$$

$$(2.14) \quad Y = 0 \quad U = V = 0, \quad Y \rightarrow \infty \quad \omega \rightarrow 0.$$

С помощью таких же разностных схем, как в первом случае, получим, что в сечении необходимо решить систему

$$(2.15) \quad a_j\omega_{j+1} - b_j\omega_j + c_j\omega_{j-1} = d_j, \quad 2 \leq j \leq N - 1;$$

$$(2.16) \quad \sum_{j=1}^N w_j\omega_j = 0;$$

$$(2.17) \quad \omega_N = 0.$$

Для решения системы (2.15)–(2.17) применимы обычные формулы прогонки, но поскольку вместо одного из краевых условий имеем интегральное уравнение (2.16), для нахождения ω_j воспользуемся тем же методом исключения, что и при определении β . Данный подход обеспечивает такую же точность, но позволяет немного сэкономить память ЭВМ, так как не требуется запоминать лишний прогоночный коэффициент.

В большинстве представленных далее расчетов сетка по X была равномерной, а разбиение по Y сгущалось к стенке согласно рекомендации [9]. Отметим, что когда рассматриваются течения в каналах, соответствующую задачу необходимо решать для пограничного слоя на каждой поверхности.

3. Турбулентные течения нами описывались с помощью однопараметрической модели [10]

$$(3.1) \quad U\partial\epsilon/\partial X + V\partial\epsilon/\partial Y = \partial((\kappa\epsilon + \nu)\partial\epsilon/\partial Y)/\partial Y + \alpha\epsilon|\partial U/\partial Y| - \gamma\epsilon(\xi\epsilon + \nu)/Y^2,$$

где κ , γ , ξ — коэффициенты; α — функция отношения ϵ/ν . Граничные условия имеют вид

$$Y = 0 \quad \epsilon = 0, \quad Y \rightarrow \infty \quad \partial\epsilon/\partial Y \rightarrow 0.$$

В качестве начальных условий задавалось распределение турбулентной вязкости в пограничном слое на плоской пластине [6]. Для численного интегрирования (3.1) применялась та же конечно-разностная схема, что и для (2.1).

Модель [10] широко апробирована и достаточно хорошо зарекомендовала себя в расчетах безотрывных пограничных слоев, слоев смешения и струйных течений. Для того чтобы оценить точность описания отрыва, здесь рассматривалось течение, экспериментально изучавшееся в [11]. Решалась обратная задача, при этом распределение $\delta(X)$ заимствовано из [11], а сопоставление проводилось для расчетных и измеренных распределений скорости и напряжений трения. На рис. 2 скорость отнесена к скорости в данном сечении ($U^0 = U/U_e(X)$); напряжения трения τ — к скоростному напору ($\tau^0 = \tau/\rho U_e^2(X)$); продольная координата — к величине L , равной расстоянию от входа в модель до последнего сечения, в котором проводились замеры ($L = 508$ см), ($X^0 = X/L$, $Y^0 = Y/\delta$). Точки — эксперимент, кривые — расчет: $X^0 = 0,694$ (1), $0,724$ (2), $0,782$ (3). Коэффициенты в соотношении (3.1) взяты из [10] и специально не корректировались, тем не менее модель удовлетворительно описывает распределение параметров в отрывной зоне.

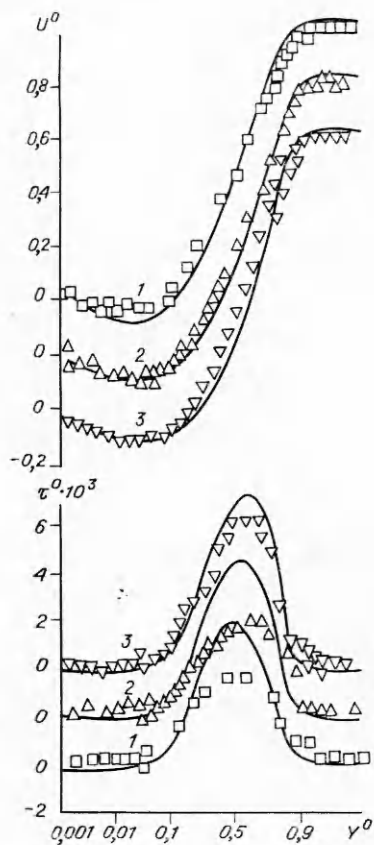


Рис. 2

расчетах интегралы берутся по конечному отрезку, вне пределов которого $dr/dx = 0$, и, кроме того, можно пренебречь вкладом $d\delta/dx$. Размер такой области следует определять из условия независимости результата от пределов интегрирования.

В канале же, чтобы вычислить $u_e(x)$, приходится решать уравнение (4.1). Здесь удобно перейти к переменным

$$\xi = x, \eta = [y - (r + \delta)] / [(R - \Theta) - (r + \delta)]$$

(R, r — контуры верхней и нижней стенок (см. рис. 1, б), Θ, δ — соответствующие толщины вытеснения). В качестве краевых условий задается распределение функции тока на входе, верхней и нижней границах. На выходе ставится условие $\partial\Psi/\partial\xi = 0$, которое дает линейное распределение v и обеспечивает сращивание в выходном сечении. Во всех расчетах, выполненных нами, поток на входе считался однородным, т. е. $\Psi = u_\infty(y - r - \delta)$ при $x = 0$, а условия непротекания при $y = r + \delta$ и $y = R - \Theta$ имеют вид $\Psi = 0$ и $\Psi = Q$ (Q — суммарный расход через канал).

Конечно-разностный аналог (4.1), записанный по схеме второго порядка аппроксимации, интегрировался итерационным методом переменных направлений [8].

5. Для сращивания решений в пограничном слое и внешнем потоке требуется удовлетворить условию $U_e(x) = u_e(x)$, которое позволяет найти толщину вытеснения. Однако U_e и u_e — это функционалы от δ , явный вид которых неизвестен, что заставляет использовать при решении прямо-обратной задачи итерационный подход (1.4). Организация итераций — очень важный элемент метода расчета, от эффективности этого алгоритма существенно зависит общий объем вычислительных затрат.

4. Внешнее невязкое течение считается потенциальным, т. е. если ввести функцию тока Ψ , то она должна удовлетворять уравнению Лапласа:

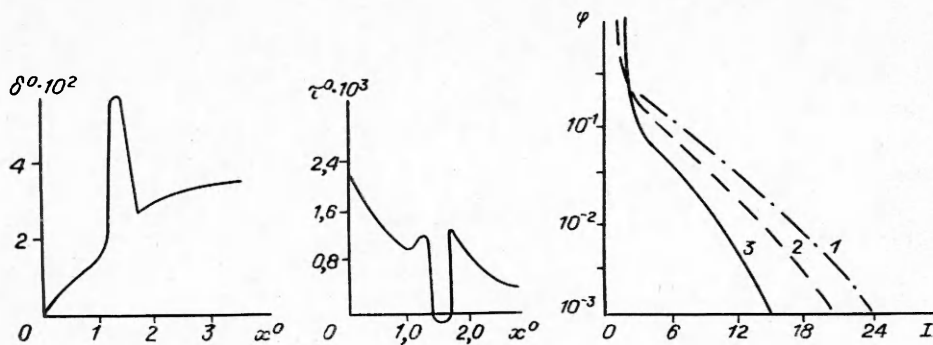
$$(4.1) \quad \partial^2\Psi/\partial x^2 + \partial^2\Psi/\partial y^2 = 0.$$

Для решения задачи о взаимодействии пограничного слоя с внешним потоком достаточно знать распределение скорости невязкого течения (u_e) вдоль контура, подправленного на толщину вытеснения (например, при $y = r + \delta$ (см. рис. 1, а)). Отметим, что только при таком способе определения u_e сращивание ее с продольной скоростью в пограничном слое обеспечивает и сращивание поперечных составляющих. В задачах об обтекании свободной поверхности, используя теорию тонкого тела, можно представить u_e в виде интеграла [2]

$$(4.2) \quad u_e(x) = W(x) + \frac{1}{\pi} \int_{-\infty}^{\infty} (d/d\xi (U_e\delta)) / (x - \xi) d\xi,$$

$$\text{где } W(x) = u_\infty + \frac{1}{\pi} \int_{-\infty}^{\infty} (dr/d\xi) / (x - \xi) d\xi;$$

u_∞ — скорость набегающего потока. При заданной толщине вытеснения соотношение (4.2) позволяет найти $u_e(x)$. В численных



Р и с. 3

Простая итерационная формула предложена Картером [2]

$$(5.1) \quad \delta_{i+1}/\delta_i = 1 + \zeta((u_e - U_e)/U_e)_i$$

(i — номер итерации, ζ — параметр релаксации). Провести априорную оценку ζ не удается, его приемлемое значение подбирается в процессе расчетов, что снижает эффективность метода. Нами предпринята попытка сформулировать более эффективный и надежный алгоритм, дающий возможность ускорить сходимость процесса (1.4).

Интеграл в (4.2) аппроксимируется по формуле трапеций

$$(5.2) \quad u_m = W_m + \sum_{k=1}^M C_{km} U_k \delta_k$$

Здесь для сокращения записи не приводится вид коэффициентов C_{km} и опущен индекс e в обозначении скорости; k, m — номера точек сетки по x ; M — общее число узлов. Анализируя интегральное уравнение импульсов для пограничного слоя, получим приближенное соотношение, справедливое в каждом сечении x :

$$(5.3) \quad \Delta U/U = -(\Delta\delta/\delta)/(2 + H)$$

($\Delta U = U_{i+1} - U_i$, $\Delta\delta = \delta_{i+1} - \delta_i$, H — формпараметр). Потребовав, наконец, выполнения условия $U_{i+1} = U_i$, получим с помощью (5.2), (5.3) систему линейных алгебраических уравнений для нахождения поправок к толщине вытеснения

$$(5.4) \quad (u - U)_m = \sum_{k=1}^M \Gamma_{mk} \Delta\delta_k$$

Решив систему (5.4) методом исключения Гаусса с выделением главного элемента, найдем новое распределение δ :

$$(5.5) \quad \delta_{i+1} = \delta_i + \zeta \Delta\delta$$

Параметр ζ принимался равным 0,5 во всех случаях. Отметим, что, хотя при выводе (5.4) использовалось соотношение (4.2), справедливое для свободного течения, фактически эту итерационную формулу можно применить и для расчетов течений в каналах.

Эффективность метода проверялась на примере обтекания углубления на поверхности (см. рис. 1), форма которого описывается зависимостью $r(x)/L = 0,05[4(x^0 - 1,5)^2 - 1]^3$ при $1 \leq x^0 \leq 2$, $r(x) = 0$ при $x^0 > 2$, $x^0 < 1$, где $x^0 = x/L$, а L — длина углубления. Течение ламинарное, $Re = u_\infty L/\nu = 2,08 \cdot 10^4$, точка начала пограничного слоя отстоит от углубления на расстоянии $\Delta x^0 = 1$. На рис. 3 представлены распределения толщины вытеснения ($\delta^0 = \delta/L$) и трения на стенке ($\tau^0 = \tau_w/\rho u_\infty^2$). Видно, что имеется отрывная зона. Здесь же показана динамика сходимости итераций, $\varphi = |(u_e - U_e)/U_e|$; I — номер итерации; I — расчет

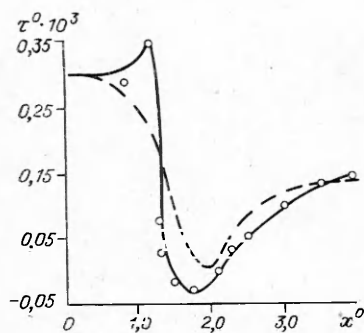


Рис. 4

диффузорном канале ($R(x) = -r(x)$, $R(x)/L = 1 + 0,08(x^0 - 1)^2(5 - 2x^0)$ при $1 \leq x^0 \leq 2$; $R(x) = 1$ при $x^0 \leq 1$; $R(x) = 1,08$ при $x^0 \geq 2$; $x^0 = x/L$; L — длина переходного участка), которое в [12] рассчитывалось с помощью параболизированных уравнений Навье — Стокса. 2. Турбулентное течение в несимметричном диффузорном канале ($R/L = 0,75$; $r(x)/L = 0,201 - 1,981(x^0)^3 + 2,956(x^0)^4 - 1,176(x^0)^5$ при $0 \leq x^0 \leq 1$, $r(x)/L = -0,201$ при $x^0 \leq 0$, $r = 0$ при $x^0 > 1$), которое экспериментально исследовалось в [13].

В первом случае $Re = u_\infty L/\nu = 6,25 \cdot 10^3$, пограничный слой развивается от точки, отстоящей на расстоянии $\Delta x^0 = 2,96$ от переходного участка, в расчете начальное сечение помещено на расстоянии $\Delta x^0 = 1$ от переходного участка. Распределение трения на стенке канала приведено на рис. 4 ($\tau^0 = \tau_w/\rho u_\infty^2$): сплошная линия — настоящая работа, точки — [12]. Видно, что оба расчета хорошо согласуются друг с другом. Наряду с этими данными представлен также результат расчета в рамках параболического приближения (штриховая кривая).

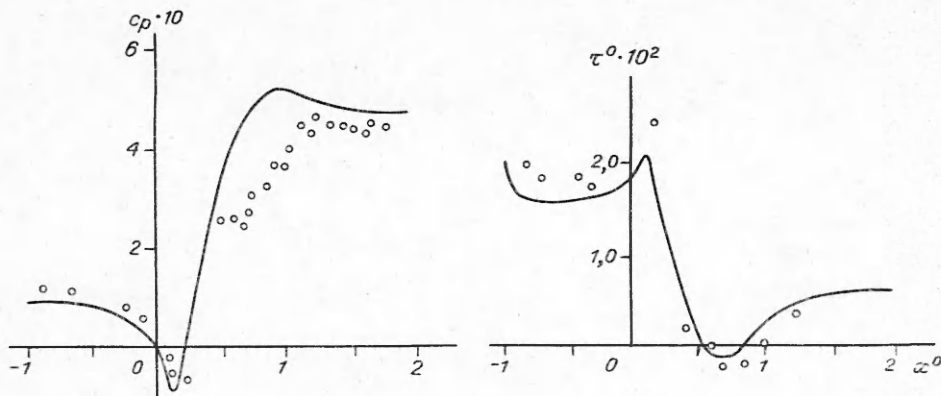
В параболическом приближении уравнения пограничного слоя используются для описания всего поля течения, а давление считается постоянным поперек канала. Здесь примерно в 3 раза занижается размер отрывной зоны и, как показывают другие сопоставления, имеется погрешность до 10 % в определении перепада давления. Таким образом, при рассмотрении отрывных потоков в канале важно учитывать взаимодействие пограничного слоя с невязким ядром, и тогда погранслоное приближение позволяет хорошо описать течение.

Турбулентное течение в несимметричном диффузоре характеризуется $Re = 5,85 \cdot 10^5$, пограничный слой развивается от точки, отстоящей на расстоянии $\Delta x^0 = 2,7$ от переходного участка, начальное сечение помещено на расстоянии $\Delta x^0 = 1$. На рис. 5 изображены распределения трения на деформированной стенке ($\tau^0 = \tau_w/\rho u_\infty^2$) и давление у этой поверхности ($c_p = 2(p - p_0)/\rho u_\infty^2$, p_0 — давление в начале переходного участка): сплошная линия — расчет, точки — эксперимент [13]. Распределение трения в отрывной зоне описывается удовлетворительно, однако на участке разгона наблюдается некоторое расхождение. В свою очередь, расчетное давление в отрывной зоне несколько завышается. Все же в целом соответствие можно признать удовлетворительным, но для повышения точности необходимо усовершенствовать модель турбулентности [10]. Расчеты течений в каналах проводили на сетках, содержащих 50 узлов вдоль оси x , 60 узлов — по y в пограничном слое и 20 — в невязком ядре. Время счета на ЭВМ ЕС-1061 примерно 5 мин.

7. Наконец, еще один тип течения, который можно рассчитать в приближении взаимодействующего пограничного слоя, — обтекание разделителя, установленного в канале (см. рис. 1, *в*). Сильное взаимодействие пограничного слоя с внешним потоком у задней кромки обусловлено здесь как резким изменением граничных условий, так и возможным отрывом от поверхности разделителя. Существенным отличием данной

по формуле (5.1), $\zeta = 0,5$; 2 — то же, но $\zeta = 1,2$; 3 — расчет по предложенной методике (5.4), (5.5). Если пользоваться (5.1), то при попытках задать ζ больше 1,2 сходимости нет, т. е. кривая 2 близка к предельной кривой сходимости. Отсюда ясно, что применение (5.4), (5.5) действительно ускоряет сходимость не менее чем на 30 %. В дальнейшем только этот подход использовался для расчета свободных течений и течений в каналах (см. рис. 1, *а*, *б*).

6. Для оценки возможностей расчета течений в канале рассматривали две ситуации. 1. Ламинарное течение в симметричном



Р и с. 5

задачи от задачи об обтекании задней кромки профиля [4] является то, что след развивается в канале и что полные параметры (в несжимаемой жидкости константы Бернулли) в потоках сверху и снизу от разделителя могут быть разными. В силу отмеченных обстоятельств в задаче о взаимодействии появляется еще один параметр — положение следа.

В качестве линии, характеризующей положение следа, введем разделительную линию тока ($y = r(x)$), продолжающую обтекаемую поверхность за заднюю кромку ($x = z$). Обозначим толщину вытеснения пограничного слоя и следа выше этой линии δ_+ , ниже δ_- . Расчет течения осуществляется следующим образом. При заданных δ_+ , δ_- , r независимо определяются невязкие течения в верхней и нижней половинах по той же методике, что и для отдельного канала. В области $x \leq z$ решаются две обратные задачи (2.1)–(2.5) для пограничных слоев при заданных δ_+ и δ_- . В области $x > z$ также можно решать задачи (2.1)–(2.5) для верхней и нижней частей следа, но при этом необходимо заменить граничное условие прилипания условием непрерывности поля скорости на разделительной линии тока

$$(7.1) \quad Y = 0 \quad [U] = 0, \quad [\partial U / \partial Y] = 0, \quad V = 0, \quad \beta_+ = \beta_-,$$

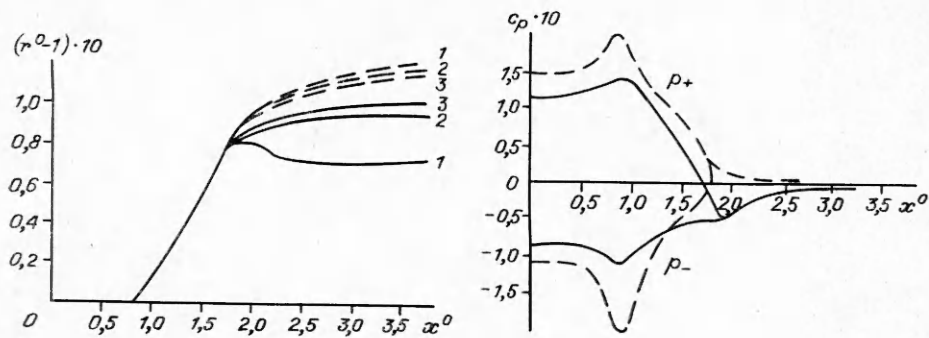
где [...] — скачок параметра. В силу последнего из условий (7.1) в следе можно задавать только одну из величин: δ_+ или δ_- — с той стороны от разделителя, с которой происходит отрыв (т. е. в схеме на рис. 1, в следует задавать δ_-).

Два условия срачивания $(U_e)_+ = (u_e)_+$, $(U_e)_- = (u_e)_-$ позволяют в области $x \leq z$ определить δ_+ и δ_- , а в области $x > z$ δ_- и r . Соответствующий итерационный алгоритм является обобщением алгоритма Картера. Так, при $x \leq z$ используется (5.4), а при $x > z$

$$\begin{aligned} (\delta_-)_{i+1} / (\delta_-)_i &= 1 + \zeta_1((u_- - U_-) / U_-)_i + \zeta_2((u_+ + U_+) / U_+)_i, \\ r_{i+1} / r_i &= 1 + \chi_1((u_- - U_-) / U_-)_i + \chi_2((u_+ + U_+) / U_+)_i. \end{aligned}$$

Сходящиеся решения получены при $\rho_1 = 1,0$; $\rho_2 = 0$; $\chi_1 = 0$; $\chi_2 = 0,4$. Обобщение алгоритма (5.4), (5.5) затруднено, поскольку отсутствует явное выражение зависимости δ_+ от δ_- .

В качестве примера рассматривалось ламинарное обтекание разделителя, форма которого описывается зависимостью $r(x)/L = 1 + \operatorname{tg} \alpha(x^0 - 0,9)$ при $0,9 \leq x^0 \leq 1,9$, $r(x)/L = 1$ при $x^0 \leq 0,9$, $x^0 = x/L$, L — длина отклоненной части, $\alpha = 5^\circ$, в канале с параллельными стенками излом контура при $x^0 = 0,9$ сглажен радиусом скругления, равным единице. Пограничные слои на разделителе развивались от точки, отстоящей от задней кромки на расстоянии $\Delta x^0 = 3,01$, пограничные слои на стенках канала не учитывались, $\operatorname{Re} = 10^4$. Варьировалось отношение скоростей на входе в верхнюю и нижнюю части канала ($m = (u_\infty)_+ / (u_\infty)_-$), пропорционально изменялись и Re_+ (при $m = 1$ $\operatorname{Re}_+ = \operatorname{Re}_-$). На рис. 6



Р и с. 6

показаны положения разделительных линий тока ($r^0 = r/L$) при $m = 0,5$ (1), 1,0 (2), 2,0 (3), штриховыми линиями нанесены соответствующие результаты для невязкого потока. Представлено также сопоставление распределений давления ($c_p = (p - p_0)/\rho(u_\infty)^2$, p_0 — давление на выходе из канала) в вязком и невязком потоках при $m = 1,0$. В невязком потоке положение разделительной линии слабо зависит от m . В вязком потоке у задней кромки наблюдается отрыв, интенсивность которого растет с уменьшением m , разделительная линия сильно деформируется у кромки. В вязком потоке у кромки наблюдается разрежение. Данная ситуация интересна тем, что, изменяя в одном потоке условия, можно управлять отрывом в другом.

Представленные результаты показывают, что вычислительная методика, с помощью которой интегрируются уравнения взаимодействующего пограничного слоя, позволяет эффективно рассчитывать ряд отрывных течений, интересных для практики.

ЛИТЕРАТУРА

1. Гогин Л. В., Степанов Г. Ю. Турбулентные отрывные течения.— М.: Наука, 1979.
2. Carter J. E. Solutions for laminar boundary-layers with separation and reattachment.— N. Y., 1974.— (Pap./AIAA; N 583).
3. McDonald H., Briley W. R. A survey of recent work on interacted boundary-layer theory for flow with separation // Numerical and physical aspects of aerodynamic flows. II.— N. Y.; Berlin: Springer, 1984.
4. Vatsa V. N., Verdon J. M. Viscid/inviscid interaction analysis of separated trailing-edge flows // AIAA J.— 1985.— V. 23, N 4.
5. Асимптотическая теория отрывных течений.— М.: Наука, 1987.
6. Хинце И. О. Турбулентность.— М.: Физматгиз, 1963.
7. Reyhner T. A., Flugge-Lotz I. The interaction of a shock wave with a laminar boundary layer // Intern. J. Non-Linear Mech.— 1968.— V. 3, N 2.
8. Самарский А. А. Теория разностных схем.— М.: Наука, 1977.
9. Блотнер Дж. Разностная схема с неравномерной сеткой для расчета турбулентных пограничных слоев // Численное решение задач гидромеханики.— М.: Мир, 1977.
10. Абрамович Г. И., Крашенинников С. Ю., Секундов А. И. Турбулентные течения при взаимодействии объемных сил и неавтономности.— М.: Машиностроение, 1975.
11. Simpson R. L., Chew Y. T., Shivaprasad B. G. The structure of separating turbulent boundary layer. Pt I. Mean flow and Reynolds stresses // J. Fluid Mech.— 1981.— V. 113.— P. 23.
12. Halim A., Hafez M. Calculation of separation bubbles using boundary-layer type equations // AIAA J.— 1986.— V. 24, N 4.
13. Serpa J. M., Lessman R. C., Hagist W. M. Turbulent separated and reattached flows over a curved surface.— N. Y., 1986.— (Pap./AIAA; N 1064).

г. Москва

Поступила 2/XII 1988 г.,
в окончательном варианте — 10/V 1989 г.